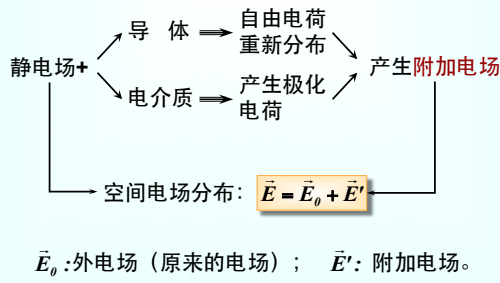


第9章 静电场中的导体和电介质



\vec{E}_0 : 外电场 (原来的电场) ; \vec{E}' : 附加电场。

主要内容:

- (1) 导体的静电平衡条件;
- (2) 电介质的极化、有电介质时的高斯定理;
- (3) 电容和电容器;
- (4) 电场的能量。

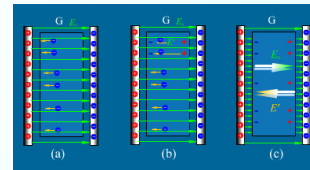
§9-1 静电场中的导体

导体的静电平衡条件:

- (a) 导体内电场强度处处为零;
- (b) 导体是个等势体, 导体表面为等势面;
- (c) 导体表面场强处处与导体表面正交。

I、导体的静电平衡条件:

导体不带电或不受外电场作用时, 因电子的无规则热运动, 导体内任一体积内无净电荷—电中性。



- (a) 在外电场 E_0 作用下, 电子逆电场方向运动;
- (b) 导体表面出现感应电荷, 导体内产生附加电场 E' ;
- (c) 外电场与附加场等值而反向时, 电荷运动停止, 导体处于静电平衡状态。

$$\text{导体内: } \vec{E} = \vec{E}_0 - \vec{E}' = 0$$

2、导体上电荷的分布:

- (1) 实心导体:

导体内任取高斯面。

$$\because \vec{E} = 0, \therefore \sum q_{\text{内}} = 0$$

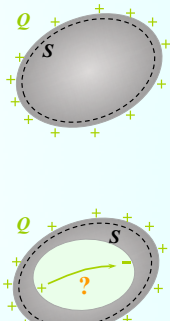
- (2) 空腔导体 (腔内无电荷):

导体内任取高斯面, 则: $\sum q_{\text{内}} = 0$

内表面上也不可能有等量异号电荷, 否则:

$$\int_a \vec{E} \cdot d\vec{l} \neq 0$$

与导体是等势体的结论不符。



(3) 空腔导体 (腔内有电荷) :

导体内、外表面间任取高斯面。

$$\because \vec{E} = 0, \therefore \sum q_{\text{内}} = 0$$

空腔内表面感应出电量 $-q$, 而外表面电量为 $Q+q$ 。

结论: 导体静电平衡时, 电荷只分布在表面上。

导体表面电荷面密度与表面曲率半径的关系:

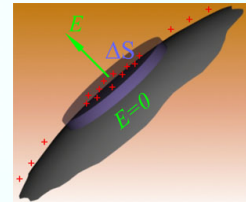
$$\sigma \propto \frac{I}{\rho} \quad (\text{近似})$$

3、导体表面外附近的场强:

在导体表面取柱状高斯面, 则其侧面和导体内底面的电通量为零。

$$E\Delta S = \frac{1}{\epsilon_0} \sum q_{\text{内}} = \frac{1}{\epsilon_0} \sigma \Delta S$$

$$\text{即: } E = \frac{\sigma}{\epsilon_0}$$

 $\because E \propto \sigma \propto \frac{I}{\rho}$, 所以: 导体表面曲率半径小的地方, 电场强度大。


4、静电屏蔽:

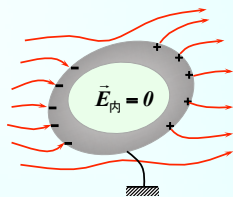
利用空腔导体可消除腔内、腔外电场的相互影响。

(1) 对腔外电场的屏蔽:

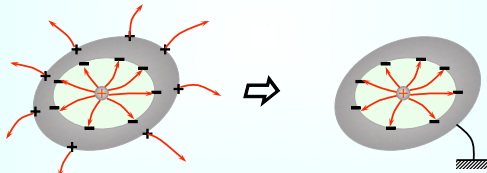
由静电平衡条件, 导体内和导体内表面均无电荷。

$$\therefore \vec{E}_{\text{内}} = 0$$

但外电场变化时, 将使腔内电势发生变化, 可通过“接地”解决。



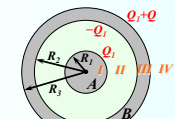
(2) 对腔内电场的屏蔽:

腔内电荷 q 在腔内表面感应出电荷 $-q$, 同时外表面感应出电荷 $+q$ 。若将导体空腔接地, 则腔外空间的电场、电势不受腔内电场的影响。

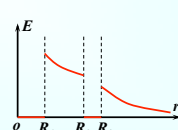
例9-1: 半径 R_1 , 带电 Q_1 的金属球 A , 外面有一内、外半径分别为 R_2 、 R_3 , 带电 Q 的同心球壳 B 。求: (1)电场的分布; (2)球与球壳间的电势差。

(1) 电场分布:

$$\begin{cases} E_I = 0 & (r < R_1) \\ E_{II} = \frac{Q_1}{4\pi\epsilon_0 r^2} & (R_1 < r < R_2) \\ E_{III} = 0 & (R_2 < r < R_3) \\ E_{IV} = \frac{Q_1 + Q}{4\pi\epsilon_0 r^2} & (r > R_3) \end{cases}$$



电场分布不连续。

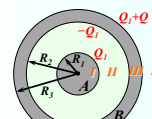


例9-1: 半径 R_1 , 带电 Q_1 的金属球 A , 外面有一内、外半径分别为 R_2 、 R_3 , 带电 Q 的同心球壳 B 。求: (1)电场的分布; (2)球与球壳间的电势差。

(2) 球与球壳间的电势差。

由场势法:

$$U_{AB} = \int_{R_1}^{R_2} \vec{E}_{II} \cdot d\vec{r} = \frac{Q_1}{4\pi\epsilon_0} \left(\frac{1}{R_1} - \frac{1}{R_2} \right)$$



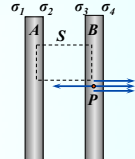
例9-2: 面积均为 S 的两块大金属平板 A 、 B 平行放置， A 带电 Q ， B 不带电，求：静电平衡时 A 、 B 板上电荷分布及周围电场分布。（忽略边缘效应）

$$\text{由电荷守恒: } \sigma_1 + \sigma_2 = \frac{Q}{S} \quad ①$$

$$\sigma_3 + \sigma_4 = 0 \quad ②$$

$$\text{作高斯面 } S, \text{ 得: } \sigma_2 + \sigma_3 = 0 \quad ③$$

$$\text{对 } P \text{ 点: } \frac{\sigma_1}{2\epsilon_0} + \frac{\sigma_2}{2\epsilon_0} + \frac{\sigma_3}{2\epsilon_0} - \frac{\sigma_4}{2\epsilon_0} = 0$$



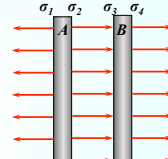
例9-2: 面积均为 S 的两块大金属平板 A 、 B 平行放置， A 带电 Q ， B 不带电，求：静电平衡时 A 、 B 板上电荷分布及周围电场分布。（忽略边缘效应）

$$\text{由电荷守恒: } \sigma_1 + \sigma_2 = \frac{Q}{S} \quad ①$$

$$\sigma_3 + \sigma_4 = 0 \quad ②$$

$$\text{作高斯面 } S, \text{ 得: } \sigma_2 + \sigma_3 = 0 \quad ③$$

$$\text{对 } P \text{ 点: } \sigma_1 - \sigma_4 = 0 \quad ④$$



$$\Rightarrow \begin{cases} \sigma_1 = \sigma_2 = \sigma_4 = \frac{Q}{2S} \\ \sigma_3 = -\frac{Q}{2S} \end{cases} \quad \begin{cases} E_I = \frac{Q}{2\epsilon_0 S} \text{ (向左)} \\ E_H = E_{III} = \frac{Q}{2\epsilon_0 S} \text{ (向右)} \end{cases}$$

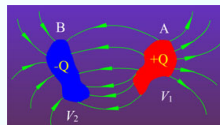
§9-2 电容和电容器

2、电容器的电容：

带等量异号电荷的两个导体（极板）组成的系统称为电容器。

电容器的电容：

$$C = \frac{Q}{U_A - U_B}$$



当两极板之一移到无穷远时， $C=Q/U$ 即为孤立导体的电容。

C 取决于电容器的结构及周围电介质的电学性质。

1、孤立导体的电容：

一导体周围无其他导体、电介质、带电体时，该导体称为**孤立导体**。

孤立导体的电容：

$$C = \frac{Q}{U} \quad \text{单位: 法拉} \quad F = \frac{C}{V}$$

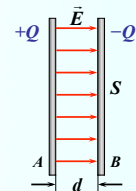
如：半径为 R ，带电量为 Q 的球形导体的电容为：

$$C = \frac{Q}{U} = 4\pi\epsilon_0 R$$

C 与 Q 、 U 无关，只决定于导体本身性质。

(1) 平行板电容器：

当两极板间的距离远小于极板的线度时，极板间电场可近似看作匀强电场。



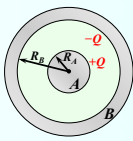
所以：

$$C_{\text{平}} = \frac{Q}{U_A - U_B} = \frac{\epsilon_0 S}{d}$$

(2) 球形电容器:

球形电容器的两极板由球形导体A和同心球壳B组成。

$$U_A - U_B = \int_{R_A}^{R_B} \frac{Q}{4\pi\epsilon_0 r^2} dr = \frac{Q}{4\pi\epsilon_0} \left(\frac{1}{R_A} - \frac{1}{R_B} \right) = \frac{Q(R_B - R_A)}{4\pi\epsilon_0 R_A R_B}$$



$$\text{所以: } C_{\text{球}} = \frac{Q}{U_A - U_B} = \frac{4\pi\epsilon_0 R_A R_B}{(R_B - R_A)}$$

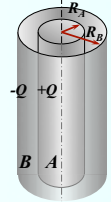
$$\text{若 } d = R_B - R_A \ll R_A, R_B, \text{ 则: } C \approx \frac{4\pi\epsilon_0 R^2}{d} = \frac{\epsilon_0 S}{d}$$

(3) 圆柱形电容器:

当 $l \gg R_B - R_A$ 时:

$$U_A - U_B = \int_{R_A}^{R_B} \frac{\lambda}{2\pi\epsilon_0 r} dr = \frac{\lambda}{2\pi\epsilon_0 l} \ln \frac{R_B}{R_A}$$

$$\text{所以: } C_{\text{柱}} = \frac{Q}{U_A - U_B} = \frac{2\pi\epsilon_0 l}{\ln \frac{R_B}{R_A}}$$

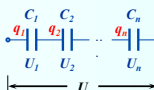


若 $d = R_B - R_A \ll R_A, R_B$, 则:

$$\ln \frac{R_B}{R_A} \approx \ln(1 + \frac{d}{R_A}) \approx \frac{d}{R_A} \Rightarrow C \approx \frac{2\pi\epsilon_0 l R_A}{d} = \frac{\epsilon_0 S}{d}$$

3、电容器的串联和并联:

$$(1) \text{ 串联: } \begin{cases} q_1 = q_2 = \dots = q_n = q \\ U_1 + U_2 + \dots + U_n = U \end{cases}$$



$$\text{得: } \begin{cases} \frac{1}{C} = \frac{U}{q} = \frac{1}{C_1} + \frac{1}{C_2} + \dots + \frac{1}{C_n} \\ U_1 : U_2 : \dots : U_n = \frac{1}{C_1} : \frac{1}{C_2} : \dots : \frac{1}{C_n} \end{cases}$$

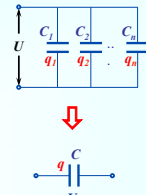
两个电容器串联时:

$$C = \frac{C_1 C_2}{C_1 + C_2}, \quad U_1 = \frac{C_2}{C_1 + C_2} U, \quad U_2 = \frac{C_1}{C_1 + C_2} U$$

➤ 电容器串联时, 等值电容变小, 但耐压增大。

(2) 并联:

$$\begin{cases} U_1 = U_2 = \dots = U_n = U \\ q_1 + q_2 + \dots + q_n = q \end{cases}$$



$$\text{得: } \begin{cases} C = \frac{q}{U} = C_1 + C_2 + \dots + C_n \\ q_1 : q_2 : \dots : q_n = C_1 : C_2 : \dots : C_n \end{cases}$$

两个电容器并联时:

$$C = C_1 + C_2, \quad q_1 = \frac{C_1}{C_1 + C_2} q, \quad q_2 = \frac{C_2}{C_1 + C_2} q$$

➤ 电容器并联时, 等值电容变大, 耐压与耐压值最小的电容器相等。

例9-3: A、B两电容器参数分别为 $200pF/500V$, $300pF/900V$, 将它们串联。求: (1)等值电容C; (2)加上 $1000V$ 电压时, 是否会被击穿? (3)此电容器组的最大耐压值。

(1) 等值电容:

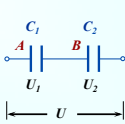
$$C = \frac{C_1 C_2}{C_1 + C_2} = 120pF$$

$$(2) U_1 = \frac{C_2}{C_1 + C_2} U = 600V, \quad U_2 = \frac{C_1}{C_1 + C_2} U = 400V \quad \text{击穿!}$$

(3) 取 $U_1 = U_{max} = 500V$, 则:

$$U_2 = \frac{C_1}{C_2} U_{max} = 333V$$

$$\therefore U_{max} = U_{max} + U_2 = 833V$$

**§9-3 静电场中的电介质**

1、电介质对电场的影响：

空气平行板电容器的电容为 C_0 ，极板充电至 Q_0 ，极板间电势差为 U_0 。

插入介质板（充满）后，保持极板上电量不变，极板间电势差为 U 。

则： $U < U_0$ ，即： $\epsilon_r = \frac{U_0}{U} > 1$

ϵ_r ：相对介电常数（相对电容率），为无量纲纯数。

$\epsilon_r = \frac{U_0}{U} > 1$ (充满电介质时)

$$E = \frac{U}{d} = \frac{U_0}{\epsilon_r d} = \frac{E_0}{\epsilon_r}$$

$C = \frac{Q_0}{U} = \frac{\epsilon_r Q_0}{U_0} = \epsilon_r C_0$ (充满电介质时)

可见：当空气（真空）电容器极板间充满电介质后，极板间电场强度减小、电势差下降、电容增大。

2、电介质的极化：

(1) 无极分子的位移极化：

无极分子：无外电场时，分子正、负电荷中心重合。

在外电场作用下，分子正、负电荷中心产生位移，形成取向外电场方向的分子电矩，使介质表面出现极化电荷（束缚电荷）。极化电荷产生的附加场方向与外电场方向相反。

$\bar{E} = \bar{E}_0 + \bar{E}'$, $E = E_0 - E' < E_0$

(2) 有极分子的取向极化：

有极分子：无外电场时，分子正、负电荷中心不重合。

在外电场作用下，分子电矩受外电场力矩作用而取向外电场方向，使介质表面出现极化电荷（束缚电荷）。附加电场方向仍与外电场方向相反。

$\bar{E} = \bar{E}_0 + \bar{E}'$, $E = E_0 - E' < E_0$

讨论：

- 取向极化只发生在有极分子电介质中，而位移极化则发生在任何电介质中。通常，取向极化效应 $>>$ 位移极化效应，在有极分子电介质中，可不计位移极化。但在高频电场作用下，位移极化效应可大于取向极化效应。
- 两种极化产生的宏观效果完全相同，在实际问题中，常不加以区别。

3、有电介质时的高斯定理：以平行板电容器为例

取图示高斯面 S ，则：

$$\oint_S \bar{E} \cdot d\bar{S} = \frac{1}{\epsilon_0} (Q_0 - Q')$$

$$\therefore E = E_0 - E' = \frac{E_0}{\epsilon_r} = \frac{\sigma_0}{\epsilon_0 \epsilon_r}$$

$$\therefore \oint_S \bar{E} \cdot d\bar{S} = ES = \frac{\sigma_0 S}{\epsilon_0 \epsilon_r} = \frac{Q_0}{\epsilon_0 \epsilon_r}$$

即： $\oint \epsilon_0 \epsilon_r \bar{E} \cdot d\bar{S} = Q_0$

$\oint \epsilon_0 \epsilon_r \vec{E} \cdot d\vec{S} = Q_0$

定义：电位移矢量
 $\vec{D} = \epsilon_0 \epsilon_r \vec{E}$ 单位： C/m^2

有电介质时的高斯定理：
 $\oint \vec{D} \cdot d\vec{S} = Q_0$ Q_0 : 自由电荷

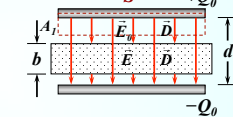
➤ 引入电位移矢量的好处是无须知道束缚电荷的分布也可以求电场；
 ➤ 电位移矢量是一个辅助矢量，电场的基本性质仍由电场强度矢量描述。

例题9-5：一平行板电容器： $S=100cm^2$, $d=1.0cm$, 充电到极板间电压 $U_0=100V$, 将电源断开后插入厚 $b=0.5cm$, $\epsilon_r=7$ 的电介质板，求：(1)电容器内空隙间和电介质板中的场强；(2)插入介质板后，极板间的电势差；(3)插入介质板后的电容。

空气平行板电容器：

$$C_0 = \frac{\epsilon_0 S}{d} = 8.85 pF$$

$$Q_0 = C_0 U_0 = 8.85 \times 10^{-10} C$$



(1) 空隙间：取高斯面 A_1

$$\oint_{A_1} \vec{D} \cdot d\vec{S} = DS = Q_0 \Rightarrow D = \frac{Q_0}{S}$$

$$E_0 = \frac{D}{\epsilon_0} = \frac{Q_0}{\epsilon_0 S} = 1.0 \times 10^4 V/m$$

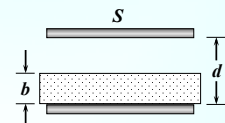
电介质板内：取高斯面 A_2
 $\oint_{A_2} \vec{D} \cdot d\vec{S} = DS = Q_0 \Rightarrow D = \frac{Q_0}{S}$ (与空隙内相同！)
 $E = \frac{D}{\epsilon_0 \epsilon_r} = \frac{Q_0}{\epsilon_0 \epsilon_r S} = \frac{E_0}{\epsilon_r} = 0.14 \times 10^4 V/m$

(2) 极板间电势差：
 $U = E_0(d-b) + Eb = 57V$
 插入电介质板后，电势差下降。

(3) 插入电介质板后的电容：

● 按定义：

$$C = \frac{Q_0}{U} = 15.5 pF$$



● 看作两个电容器的串联：

介质板位置不影响电容的大小。

$$C = \frac{C_1 C_2}{C_1 + C_2} = \frac{\frac{\epsilon_0 S}{d-b} \frac{\epsilon_0 \epsilon_r S}{b}}{\frac{\epsilon_0 S}{d-b} + \frac{\epsilon_0 \epsilon_r S}{b}} = \frac{\epsilon_0 \epsilon_r S}{\epsilon_r d + b(1-\epsilon_r)} = 15.5 pF$$

讨论：

● 若电介质充满电容器内部：
 $U = Ed = 14V$
 $C = \frac{Q_0}{U} = 62 pF$

● 若插入厚度为 $d/2$ 的金属板：
 $U = E_0 \frac{d}{2} = 50V$
 $C = \frac{Q_0}{U} = 2C_0 = 17.7 pF$

§9-4 电场的能量

电荷之间存在电场力的相互作用。因此，使物体带电的过程（电场的建立过程）是外力克服电场力作功的过程。

由能量守恒与转化定律：

外力克服电场力所作的功 = 带电系统的静电能。
(如：电容器的充电过程)

反过来，带电系统的静电能也可以转化为其它形式的能量。
(如：闪光灯内电容器的放电过程将电能转化为光的能量)

1、电容器的储能公式：

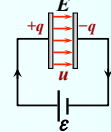
电容器的充电过程中，电源克服电场力作功将其它形式的能量（如：化学能）转化为电场能量。

t时刻，极板上电量为 q ，极板间电势差为 u ，电量 dq 由负极板移至正极板过程中电源作功为：

$$dA = u dq = \frac{q}{C} dq$$

充电至 Q 时，电容器内电场的能量为：

$$W = \frac{1}{2} \int_0^Q q dq = \frac{Q^2}{2C} = \frac{1}{2} QU = \frac{1}{2} CU^2$$



称为**电容器的储能公式**。

例9-6：电容器 $C_1 = 8\mu F$ ，充电到 $U_0 = 120V$ ，移去电源，再将 C_1 与 $C_2 = 4\mu F$ 相连接。求：(1) 电容器组的电压；(2) 接通开关前后系统的能量。

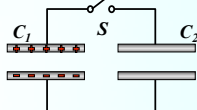
C_1 充电后的电量：

$$Q_0 = C_1 U_0 = 960 \mu C$$

(1) C_1 与 C_2 并联：

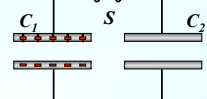
$$Q_1 = \frac{C_1}{C_1 + C_2} Q_0 = 640 \mu C$$

$$\therefore U = U_1 = \frac{Q_1}{C_1} = 80V$$



(2) 开关接通前 C_1 的能量：

$$W_0 = \frac{1}{2} C_1 U_0^2 = 5.76 \times 10^{-2} J$$



开关接通后系统的能量：

$$W_1 = \frac{1}{2} (C_1 + C_2) U^2 = 3.84 \times 10^{-2} J$$

系统损失能量：

$$\Delta W = W_0 - W_1 = 1.92 \times 10^{-2} J$$

损失的能量部分被导线电阻所消耗，部分以电磁波的形式被辐射出去。

2、电场的能量和能量密度：

近代物理学指出：电场能量的携带者是电场而非电荷。在非稳恒情况下，电场可以脱离电荷单独存在。

由电容器储能公式：

$$W = \frac{1}{2} CU^2 = \frac{1}{2} \frac{\epsilon_0 \epsilon_r S}{d} U^2 = \frac{\epsilon_0 \epsilon_r S}{2d} (Ed)^2 = \frac{1}{2} \epsilon_0 \epsilon_r E^2 (Sd)$$

$$\text{即: } W = \frac{1}{2} \epsilon_0 \epsilon_r E^2 \cdot V \quad V: \text{电容器极板间体积。}$$

对空气平行板电容器：

$$W = \frac{1}{2} \epsilon_0 E^2 \cdot V$$

电场的**能量密度**：单位体积内电场的能量。

$$w = \frac{W}{V} = \frac{1}{2} \epsilon_0 \epsilon_r E^2 = \frac{1}{2} DE = \frac{1}{2} \frac{D^2}{\epsilon_0 \epsilon_r} \quad (J/m^3)$$

上式对非均匀、非稳恒电场也成立。

当电场分布不均匀时：

$$W = \iiint w dV = \iiint \frac{1}{2} \epsilon_0 \epsilon_r E^2 dV$$

例9-7: 球形电容器当电量为 Q 时所储存的能量。

$$\text{球形电容器内的场强为: } E = \frac{Q}{4\pi\epsilon_0\epsilon_r r^2}$$

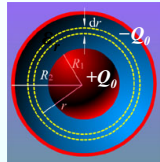
取图示同心薄球壳为体积元:

$$dW = \frac{1}{2} \epsilon_0 \epsilon_r E^2 dV = \frac{1}{2} \epsilon_0 \epsilon_r \frac{Q^2}{(4\pi\epsilon_0\epsilon_r r^2)^2} 4\pi r^2 dr = \frac{Q^2}{8\pi\epsilon_0\epsilon_r r^2} dr$$

$$W = \frac{Q^2}{8\pi\epsilon_0\epsilon_r} \int_{R_1}^{R_2} \frac{dr}{r^2} = \frac{Q^2}{8\pi\epsilon_0\epsilon_r} \left(\frac{1}{R_1} - \frac{1}{R_2} \right)$$

与 $W = \frac{Q^2}{2C}$ 比较得:

$$C = \frac{4\pi\epsilon_0\epsilon_r R_1 R_2}{R_2 - R_1}$$



例: 用电场能量的方法求空气圆柱形电容器的电容。

$$\text{圆柱形电容器内的场强为: } E = \frac{Q}{2\pi\epsilon_0 l r}$$

取图示同轴薄圆柱壳为体积元:

$$dW = \frac{1}{2} \epsilon_0 E^2 dV = \frac{1}{2} \epsilon_0 \frac{Q^2}{4\pi^2 \epsilon_0^2 r^2 l^2} 2\pi r l \cdot dr = \frac{Q^2}{4\pi\epsilon_0 l} \frac{dr}{r}$$

$$W = \frac{Q^2}{4\pi\epsilon_0 l} \ln \frac{R_A}{R_B}$$

$$\text{与 } W = \frac{Q^2}{2C} \text{ 比较得: } C = \frac{2\pi\epsilon_0 l}{\ln \frac{R_B}{R_A}}$$

